

Список литературы

- [1] Певцов А. Б., Пермогоров С. А., Селькин А. В., Сырбу Н. Н., Уманец А. Г. // ФТП. 1982. Т. 16. № 8. С. 1399—1405.
- [2] Сырбу Н. Н., Мамаев В. М. // ФТП. 1983. Т. 17. № 4. С. 694—698.
- [3] Селькин А. В., Стамов И. Г., Сырбу Н. Н., Уманец А. Г. // Письма в ЖЭТФ. 1982. Т. 35. № 2. С. 51—53.
- [4] Лазарев В. Б., Шевченко В. Я., Маренкин С. Ф. // Изв. АН СССР, неорг. матер. 1979. Т. 15. № 10. С. 1701—1712.
- [5] Hegyi I. J., Loebner E. E., Poor E. W., White J. G. // Phys. Chem. Sol. 1963. V. 23. N 2. P. 333—337.
- [6] Sobotka H., Neuman H., Syrbu N. N., Riede N. // Phys. St. Sol. (b). 1983. V. 112. N 2. P. K555—K558.
- [7] Сырбу Н. Н., Хачатурова С. Б. // ФТТ. 1985. Т. 27. № 9. С. 2687—2690.
- [8] Горбань И. С., Горыня В. А., Луговой В. И., Маковецкая А. П. // ФТТ. 1975. Т. 17. № 6. С. 1638—1641.

Кишиневский политехнический институт
им. С. Лазо
Кишинев

Поступило в Редакцию
23 мая 1989 г.
В окончательной редакции
25 октября 1989 г.

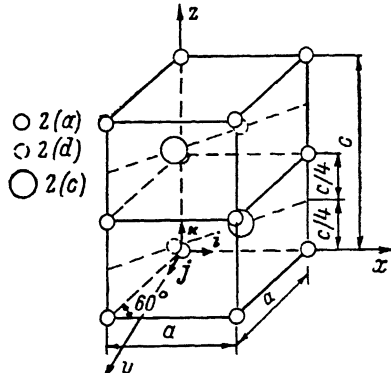
УДК 539.143.43

© Физика твердого тела, том 32, № 4, 1990
Solid State Physics, vol. 32, N 4, 1990

РАСЧЕТ ДИПОЛЬНЫХ ПОЛЕЙ НА ЯДРАХ ^{55}Mn В MnSb

И. Г. Килиптари, А. М. Ахалкаци

Недавно на основе анализа спектров ЯМР нами была произведена численная оценка вклада различных механизмов в формирование сверхтонкого (СТ) поля на ядрах ^{55}Mn в ферромагнитном интерметаллическом соединении MnSb [^{1, 2}], а также изучены многоквантовые механизмы формирования эха в упомянутой системе [³]. В настоящей публикации приводятся результаты расчета сдвигов СТ полей, связанных с дипольным взаимодействием спинового магнитного момента ядра Mn 2 (*a*) с 3d-моментами окружающих атомов. Соответствующие сдвиги $\Delta H_i^{\text{дип}}$ отличны от нуля только



Элементарная ячейка решетки MnSb.

Узлы 2 (*d*) в стехиометрически чистом MnSb не заняты атомами. Магнитный момент атомов Sb в узлах 2 (*c*) равен нулю [⁴]. Параметры решетки: $a=4.130$, $c=5.780 \text{ \AA}$.

для некубических кристаллов и могут быть представлены в виде [⁴]

$$\Delta H_i^{\text{дип}} = \lambda_i [1 - 3(MR)^2], \quad (1)$$

где $\lambda_i = \mu_{\text{Mn}}/r_i^3$; M — вектор, задающий направление намагниченности в домене; R — единичный вектор в направлении ближайших соседей. $\mu_{\text{Mn}} = -3.55 \mu_B$ — магнитный момент атомов Mn 2 (*a*); r_i — расстояние до *i*-й магнитной координационной сферы. Поскольку дипольное взаимодействие быстро убывает с расстоянием, можно ограничиться рассмотрением вклада магнитных атомов, расположенных внутри сферы радиусом 5—6 Å, т. е. учесть сдвиги СТ полей от атомов 2, 3 и 6 координационных сфер (см. таблицу в [²]).

Выберем систему взаимно перпендикулярных осей с центром в рассматриваемом атоме и учтем, что ось легкого намагничения лежит в базисной плоскости: $M = \pm i$ [5]. Выразим единичный вектор через орты i, j, k для атомов различных координационных сфер (см. рисунок).

К примеру, вторая сфера содержит 2 атома Mn 2 (a), расположенных вдоль оси z симметрично по отношению к данному, т. е. $R = \pm k$, поэтому каждый из атомов этой сферы дает дипольный сдвиг $\Delta H_2^{\text{дип}} = \lambda_2$, что соответствует СТ полю 0.136 Тл.

В третьей координационной сфере находится 6 атомов, расположение которых относительно начала координат задается в виде $\pm i; \pm \frac{1}{2}(i + \sqrt{3}j); \pm \frac{1}{2}(i - \sqrt{3}j)$. Тогда с помощью (1) можно получить, что из 6 атомов данной сферы четыре дают одинаковые сдвиги $\Delta H_3^{\text{дип}} = +0.25\lambda_3$, а оставшиеся два $-2\lambda_3$.

Наконец, шестая сфера содержит 12 атомов, единичные векторы в направлении которых имеют вид

$$\begin{aligned} &\pm(i \cos 35^\circ + k \cos 55^\circ), \pm(i \cos 35^\circ - k \cos 55^\circ), \pm(i \cos 65^\circ + j \cos 45^\circ + k \cos 55^\circ), \\ &\pm(i \cos 65^\circ - j \cos 45^\circ + k \cos 55^\circ), \pm(i \cos 65^\circ + j \cos 45^\circ - k \cos 55^\circ), \\ &\pm(i \cos 65^\circ - j \cos 45^\circ - k \cos 55^\circ). \end{aligned}$$

Как показал анализ, атомы этой сферы могут быть разбиты на две группы эквивалентных атомов, дающих сдвиги $\Delta H_6^{\text{дип}} = -\lambda_6$ и $+0.5\lambda_6$ соответственно. Результаты расчета сдвигов полей, связанных с дипольным взаимодействием, приведены в таблице.

Координационные сферы, расстояния r_i
и сдвиги дипольных полей $\Delta H_i^{\text{дип}}$ в стехиометрическом MnSb.
Результирующее СТ поле на ядрах ^{55}Mn без учета
квадрупольного расщепления составляет -24.2 Тл [1]

Номер сферы i	Расстояние до i -й сферы r_i , Å	Общее число атомов	Число эквивалентных атомов	Сдвиги дипольных полей $\Delta H_i^{\text{дип}}$, Тл
2	2.890	2	2	+0.136
3	4.130	6	2 4	-0.093 +0.012
6	5.041	12	4 8	-0.026 +0.013

Спектр ЯМР ^{55}Mn стехиометрически чистого MnSb представляет собой резонансную линию в диапазоне частот 250—260 МГц, расщепленную за счет квадрупольного взаимодействия на пять спектральных компонент с шириной ≈ 1.6 МГц и расстоянием между их центрами порядка 2.0 МГц (см. рис. «а» в [1]). При наблюдении резонанса в доменных границах ферромагнетика из-за вращения вектора локальной намагниченности разброс дипольных полей приводит к уширению или расщеплению неоднородно-уширенных линий ЯМР, причем влияние дипольного взаимодействия на резонансный спектр определяется как величиной дипольных сдвигов, так и углами поворота возбуждающими импульсами [6]. Согласно проведенному расчету, сдвиги дипольных полей не превышают расстояния между квадрупольными максимумами: из 20 атомов, включенных в рассмотрение, 16 дают сдвиги менее 0.3 МГц и лишь 4 вызывают смещение 1.0—1.4 МГц. Исходя из этого можно заключить, что дипольное взаимодействие в исследованной системе не столь велико, чтобы при возбуждении сравнительно короткими (менее 1.0 мкс) импульсами искажить или сгладить квадрупольную структуру спектров ЯМР; следовательно, оно вносит вклад в ширину и форму отдельных компонент, расщепленных за счет квадрупольного взаимодействия.

В нестехиометрическом $\text{Mn}_{1+\delta}\text{Sb}$ ($\delta \neq 0$) пространственная эквивалентность атомов каждой из рассмотренных координационных сфер наруша-

ется, что приводит к дополнительному разбросу СТ полей и наряду с неоднородностью квадрупольного взаимодействия [7] может служить причиной исчезновения квадрупольной структуры спектров ЯМР.

С п и с о к л и т е р а т у ры

- [1] Шавишвили Т. М., Ахалкаци А. М., Килиптари И. Г., Меликия М. Г. // ФТТ. 1988. Т. 30. № 6. С. 1884—1885.
- [2] Шавишвили Т. М., Ахалкаци А. М., Килиптари И. Г. // ФТТ. 1989. Т. 31. № 8. С. 186—191.
- [3] Абесадзе Т. Ш., Ахалкаци А. М., Килиптари И. Г., Меликия М. Г., Шавишвили Т. М. // ЖЭТФ. 1989. Т. 96. № 1 (7). С. 187—193.
- [4] Murray G. A., Marshall W. // Proc. Phys. Soc. 1965. V. 86. P. 315—330.
- [5] Yamaguchi Y., Watanabe H. // J. Phys. Soc. Jap. 1980. V. 48. N 2. P. 435—441.
- [6] Stearns M. B. // Phys. Rev. 1975. V. B12. N 5. P. 1626—1632.
- [7] Abe H., Yasuoka H., Hirari A. // J. Phys. Soc. Jap. 1966. V. 21. N 1. P. 77—84.

Тбилисский государственный университет
Тбилиси

Поступило в Редакцию
2 августа 1989 г.
В окончательной редакции
27 октября 1989 г.

УДК 538.224

© Физика твердого тела, том 32, № 4, 1990
Solid State Physics, vol. 32, N 4, 1990

ДОМЕННАЯ СТРУКТУРА МОНОКРИСТАЛЛИЧЕСКОГО ТЕРБИЯ

B. B. Воробьев, M. Я. Крупоптин, B. A. Финкель

При $T < T_c \sim 220$ К тербий переходит из геликоидального антиферромагнитного в коллинеарное ферромагнитное состояние. В результате этого симметрия кристаллической решетки понижается от гексагональной до ромбической [1], а магнитные моменты устанавливаются параллельно оси b ($\langle 010 \rangle_p$) ромбической решетки, т. е. вдоль «бывших» направлений $\langle 10\bar{1}0 \rangle_g$ гексагональной решетки [2]. Сведения же о характере возникающей при этом доменной структуры в литературе практически отсутствуют, хотя реальность ее образования в ферромагнитном тербии следует из экспериментов по деполяризации нейтронов [3].

Исходя из самых общих соображений, следует, что из-за сильной однородной анизотропии доменные стенки должны лежать в плоскости базиса (001) [4]. Однако вопрос о расположении доменов в плоскостях базиса в тербии, а тем более об эволюции его доменной структуры с изменением температуры и магнитного поля пока остается открытым.

В принципе возможно образование двух типов доменных структур:
а) система параллельных доменов, разделенных 180° -ными блоховскими стенками, которые образуются в двух направлениях из шести $\langle 010 \rangle_p$;
б) система доменов, разделенных 120° -ными стенками, образованных во всех шести направлениях $\langle 010 \rangle_p$ [5].

Наличие достаточно сильного понижения симметрии решетки тербия в T_c дает уникальную возможность изучить эволюцию его доменной структуры по характеру изменения рентгеновской дифракции в зависимости от температуры и магнитного поля, так как понижение симметрии должно приводить к расщеплению узлов обратной решетки по схеме $(h, h, \bar{2}h, 0)_g \rightleftharpoons (h, 3h, 0)_p$ и $(2h, 0, 0)_p$ [6]. Можно показать, что для первого типа доменных структур должна наблюдаться только одна из двух ромбических компонент, а для второго — две компоненты с соотношением интегральных интенсивностей $2 : 1$.

¹ Это соотношение следует из того, что атомный и структурный факторы у плоскостей $(h, 3h, 0)_p$ и $(2h, 0, 0)_p$ одинаковы. (Фактически речь идет лишь о различной